

# ОТНОШЕНИЕ $pp/pn$ В РЕАКЦИИ КВАЗИУПРУГОГО ВЫБИВАНИЯ НУКЛОНА ИЗ КОРОТКОДЕЙСТВУЮЩЕЙ КОРРЕЛИРОВАННОЙ $NN$ -ПАРЫ $^{12}\text{C}(p, ppN)^{10}\text{A}$

Ю. Узиков<sup>1,2,3,\*</sup>, А. Уваров<sup>1,\*\*</sup>

<sup>1</sup> Объединенный институт ядерных исследований, Дубна

<sup>2</sup> Государственный университет «Дубна», Дубна, Россия

<sup>3</sup> Московский государственный университет им. М. В. Ломоносова, Москва

Реакция  $^{12}\text{C}(p, 2pN)^{10}\text{A}$  рассматривается в плосковолновом импульсном приближении в рамках полного механизма выбивания нуклона из короткодействующей коррелированной  $NN$ -пары. Спектроскопические факторы для отделения двух нуклонов в определенных состояниях спина  $S$  и изоспина  $T$  из ядра  $^{12}\text{C}$  вычислены в трансляционно-инвариантной модели оболочек. Высокоимпульсная часть внутренней волновой функции  $NN$ -пары отождествляется с реалистической волновой функцией дейтрона ( $ST = 10$ ) или синглетного  $^1S_0$  дейтрона ( $ST = 01$ ). Показано, что отношение  $pp/pn$  выхода  $pp$ -пар и  $pn$ -пар в этой реакции подавлено на порядок величины отношением спектроскопических факторов и примерно на столько же отношением внутренних импульсных распределений в парах.

The reaction  $^{12}\text{C}(p, 2pN)^{10}\text{A}$  is considered in the plane wave impulse approximation assuming pole mechanism of the nucleon knock-out from the short-range correlated  $NN$  pair. Spectroscopic factors for two nucleons in a definite spin  $S$  and isospin  $T$  states in the  $^{12}\text{C}$  nucleus are calculated within the translationally invariant shell model. High-momentum part of the internal wave function of the  $NN$  pair is replaced by the realistic wave function of the deuteron ( $ST = 10$ ) or singlet  $^1S_0$  deuteron ( $ST = 01$ ). It is shown that the yields ratio for the knocked-out  $pp$  pairs to the  $pn$  pairs,  $pp/pn$ , is suppressed in this reaction by one order of magnitude due to the ratio of the spectroscopic factors and furthermore by the ratio of internal momentum distributions in these pairs.

PACS: 44.25.+f; 44.90.+c

## ВВЕДЕНИЕ

Свойства атомных ядер в области перекрывания нуклонов представляют значительный интерес как с точки зрения фундаментальных

---

\* E-mail: uzikov@jinr.ru

\*\* E-mail: tonyuvarov18@yandex.ru

вопросов теории сильных взаимодействий, так и свойств конкретных ядер, нейтронных звезд, задач рассеяния лептонов ядрами, в частности, физики нейтрино [1]. Высокоимпульсная нуклонная компонента ядерной волновой функции при импульсах нуклонов больше характерного ядерного импульса Ферми  $p_F \sim 250$  МэВ/с обусловлена нуклон-нуклонным взаимодействием на малых  $NN$ -расстояниях  $r_{NN}$  в области отталкивательного ядерного кора ( $r_{NN} < 0,5$  фм) или, эквивалентно, в области больших относительных импульсов между нуклонами  $q_{rel} > \hbar/r_{NN} = 400$  МэВ/с. Нуклонные пары в ядрах с большим относительным импульсом  $q_{rel}$  и близким к нулю импульсом центра масс пары называются короткодействующими коррелированными (КДК) парами. Наличие таких коррелированных пар в основных состояниях ядер надежно установлено экспериментально, и их свойства активно исследуются посредством измерения сечений эксклюзивных реакций жесткого развала, вызываемого электронами  $A(e, e'pN)$  и протонами  $A(p, 2pN)$ , с регистрацией тройных совпадений. При этом предполагается простейший механизм реакции, в котором частица налетающего пучка взаимодействует только с одним из нуклонов КДК-пары, а второй нуклон остается зрителем с импульсом, уравнивающим импульс выбиваемого нуклона. Основные результаты этих исследований состоят в следующем: а) доля высокоимпульсной компоненты волновых функций ядер ( $q > p_F$ ) составляет примерно 20%; б) распределение  $n(\mathbf{p}_1, \mathbf{p}_2)$  по импульсам  $\mathbf{p}_1$  и  $\mathbf{p}_2$  КДК-пары факторизуется на произведение двух множителей  $n(\mathbf{p}_1, \mathbf{p}_2) = C_A n_{cm}(\mathbf{k}_{cm}) n_{rel}(\mathbf{q}_{rel})$ , где  $n_{cm}(\mathbf{k}_{cm})$  — распределение по импульсу центра масс пары  $\mathbf{k}_{cm} = \mathbf{p}_1 + \mathbf{p}_2$ ,  $n_{rel}(\mathbf{q}_{rel})$  — распределение по относительному импульсу  $\mathbf{q}_{rel}$ , который в нерелятивистском приближении имеет вид  $\mathbf{q}_{rel} = (\mathbf{p}_1 - \mathbf{p}_2)/2$ ,  $C_A$  — константа, зависящая от типа ядра  $A$ ; распределение  $\mathbf{q}_{rel}$  является универсальной функцией, не зависящей от типа ядра, близкой к импульсному распределению нуклонов в дейтроне; в) относительная доля выхода  $pp$ -пар от выхода  $pn$ -пар в реакции  $A(e, epN)$  составляет примерно 5%. Это подавление  $pp$ -пар по сравнению с  $pn$ -парами связывают с вкладом тензорных сил в спин-триплетных  $pn$ -парах и отсутствием этих сил в спин-синглетных  $pp$ -парах. Обзор работ по исследованию КДК в ядрах дан в работе [2].

С точки зрения теоретического описания этих реакций имеет место аналогия с реакциями квазиупругого выбивания быстрых дейтронов протонами  $A(p, pd)$  и  $A(p, nd)$ . Идея о флуктуациях ядерной плотности [3] появилась именно в результате первого измерения сечения такой реакции, выполненного в инклюзивной постановке. Теоретическая модель реакций квазиупругого выбивания нуклонов из КДК-пар ядер  $1p$ -оболочки протонами  $A(p, 2pN)B$  разработана в [4] и [5] на основе подхода [6], развитого ранее для описания реакций квазиупругого выбивания нуклонных кластеров  $A(p, px)$ . В настоящей работе мы анализируем отношение  $pp/pn$  в реакции  $^{12}C(p, 2pN)^{10}A$  в модели [4, 5]. Экспериментально эта реакция исследуется в ОИЯИ на установке  $BM@N$  [7] в инверсной

кинематике с использованием пучка ядер  $^{12}\text{C}$  с энергией 4 ГэВ/нуклон, падающего на водородную мишень. Рассматривая это отношение, мы учитываем не только внутреннее распределение по относительному импульсу спин-триплетных и спин-синглетных КДК  $NN$ , но и вероятность образования этих пар в ядре в рамках спектроскопического подхода [6]. Прямое измерение отношения  $pp/pn$  для широкого класса ядер выполнено в работе [8] путем измерения сечения реакций  $A(e, epN)B$ .

### МАТРИЧНЫЙ ЭЛЕМЕНТ ПЕРЕХОДА

Рассмотрим реакцию типа  $A + p \rightarrow B + p + p + N$ . Полюсной фейнмановской диаграмме данной реакции соответствует матричный элемент [4, 5]

$$M_{fi} = M(A \rightarrow B + \langle NN \rangle) \frac{1}{p_{\langle NN \rangle}^2 - m_{\langle NN \rangle}^2 + i\varepsilon} M(p\langle NN \rangle \rightarrow pNN), \quad (1)$$

который включает три множителя: а) амплитуду виртуального распада ядра  $A$  на  $\langle NN \rangle$ -пару и ядро  $B$  в заданных внутренних состояниях и определенном состоянии относительного движения центра масс  $M(A \rightarrow B + \langle NN \rangle)$ , б) пропагатор  $\langle NN \rangle$ -пары  $1/(p_{\langle NN \rangle}^2 - m_{\langle NN \rangle}^2 + i\varepsilon)$ , в котором  $p_{\langle NN \rangle}(m_{\langle NN \rangle})$  — 4-импульс (масса)  $\langle NN \rangle$ -пары, в) амплитуду элементарного процесса выбивания нуклона из  $\langle NN \rangle$ -пары внешним протоном  $M(p\langle NN \rangle \rightarrow pNN)$ . Амплитуда виртуального распада  $A \rightarrow B + \langle NN \rangle$  может быть представлена в виде

$$M(A \rightarrow B + x) = -S_A^x (\varepsilon_A^{B+\langle NN \rangle} + p_B^2/2\mu) \Phi_{\nu\Lambda M_\Lambda}(\mathbf{k}_{\text{cm}}) \sqrt{2m_A 2m_B 2m_{\langle NN \rangle}}, \quad (2)$$

где  $S_A^x = \binom{A}{x}^{1/2} \langle \psi_A | \psi_B \Phi_{\nu\Lambda}(\mathbf{R}_{A-x} - \mathbf{R}_x) \psi_x \rangle$  — спектроскопический фактор кластера  $x$  в ядре  $A$ . Для расчета этого фактора мы используем трансляционно-инвариантную модель оболочек (ТИМО) [9]. В результате матричный элемент (1) принимает вид

$$\begin{aligned} M_{fi}(pA \rightarrow ppNB) &= \binom{A}{2}^{1/2} \sum_{M_{J_x}, \bar{J}, \bar{M}, M_\Lambda} \sum_{\alpha_i, \alpha_f, N, \Lambda, \mathcal{L}} \alpha_i^{AJ_i T_i} \alpha_f^{A-2J_f T_f} \times \\ &\times \langle A\gamma_i | A - 2\gamma_f, N\Lambda; x\gamma_x \rangle \langle \Lambda M_\Lambda J_x M_x | \bar{J} \bar{M} \rangle (J_f M_f \bar{J} \bar{M} | J_i M_i) \times \\ &\times (T_f M_{T_f} T_x M_{T_x} | T_i M_{T_i}) U(\Lambda L_x \bar{J} S_x; \mathcal{L} J_x) \begin{Bmatrix} L_f & S_f & J_f \\ \mathcal{L} & S_x & J \\ L_i & S_i & J_i \end{Bmatrix} \times \\ &\times ((2L_i + 1)(2S_i + 1)(2J_f + 1)(2\bar{J} + 1))^{1/2} \Phi_{N\Lambda M_\Lambda}(\mathbf{k}_{\text{cm}}) \times \\ &\times \langle \mathbf{p}_1 \sigma_1, \mathbf{p}_2 \sigma_2, \mathbf{p}_r \sigma_r | \widehat{M}(p\langle NN \rangle \rightarrow p_1 p_2 p_r) | \mathbf{p} \sigma_p, -\mathbf{k}_{\text{cm}} \sigma_x, \psi_{s,t} \rangle, \quad (3) \end{aligned}$$

в котором использованы стандартные обозначения для коэффициентов Клебша–Гордана, коэффициентов Рака и  $9j$ -символов группы вращений;  $\langle A\gamma_i | A - 2\gamma_f, N\Lambda; x\gamma_x \rangle$  — генеалогические коэффициенты (ГК) ТИМО, при этом  $\gamma_j$  — набор квантовых чисел ядра  $j$  ( $j = A, B, x$ );  $\alpha_i^{A J_i T_i}$  и  $\alpha_f^{A-2J_f T_f}$  — коэффициенты промежуточной связи начального и конечного ядер;  $L_j, S_j, J_j, T_j$  — орбитальный момент, спин, полный угловой момент и изоспин соответственно для ядра  $A$  ( $j = A$ ),  $B$  ( $j = B$ ) или кластера  $x$  ( $j = x$ );  $\Phi_{N\Lambda M_\Lambda}(\mathbf{k}_{\text{cm}})$  — волновая функция относительного движения центров масс кластера и ядра-остатка в состоянии с числом осцилляторных квантов  $\nu$ , орбитальным моментом  $\Lambda$  и его проекцией  $M_\Lambda$ . Последний множитель в (3) является матричным элементом процесса выбивания нуклона из  $NN$ -пары. В полюсном приближении он содержит волновую функцию внутреннего движения нуклонов в  $NN$ -паре в спин-триплетном  $t$  или синглетном  $s$  состоянии в импульсном представлении  $\psi_{s,t}(q_{\text{rel}})$ .

Для спин-триплетного состояния коррелированной  $NN$ -пары в качестве внутренней волновой функции берем волновую функцию дейтрона, которая имеет две компоненты —  $S$ -волну  $u(q)$  и  $D$ -волну  $w$ . Для CD Вонн потенциала  $NN$ -взаимодействия [10] аналитическая параметризация для обеих этих компонент в виде суммы юкавских членов имеется в работе [10].

Для спин-синглетной  $pN(^1S_0)$ -пары нет связанного состояния, есть только виртуальный уровень, которому соответствует полюс  $S$ -матрицы при отрицательной энергии  $E_s = -0,45$  МэВ, находящийся на втором (нефизическом) листе римановой поверхности. В этом случае для волновой функции  $\psi_s(q)$  внутреннего движения в  $pN(^1S_0)$ -паре, находящейся в ядре, используем волновую функцию состояния  $pN$ -рассеяния при нулевой энергии столкновения в  $(^1S_0)$ -состоянии. Основанием для этого приближения является известная связь между волновой функцией дейтрона как связанного состояния  $pn$ -пары и волновой функцией  $pn$ -рассеяния в  $^3S_1$ -состоянии [11, 12]. Связь эта обусловлена аналитической зависимостью решения уравнения Шредингера от энергии столкновения  $E$  и осуществляется путем перехода от положительных значений энергии  $E$  в точку полюса, находящуюся при энергии связанного состояния  $E = -\varepsilon_d = -2,23$  МэВ. Поскольку энергия связи мала, то на малых расстояниях  $r < 1$  фм (или больших относительных импульсах  $q \sim \hbar/r$ ) волновая функция связанного состояния  $\varphi_d$  незначительно отличается от спин-триплетной волновой функции рассеяния  $\psi_t^{(\pm)}$  при нулевой энергии.

Волновая функция спин-синглетной  $pN$ -пары в состоянии  $^1S_0$  может быть выражена через матричный элемент  $T$ -матрицы  $pN$ -рассеяния наполовину вне энергетической поверхности  $\langle \vec{q} | T(E = k^2/m_N) | \vec{k} \rangle$ , где  $T(E)$  есть  $T$ -оператор перехода в  $^1S_0$ -состоянии при энергии  $pN$ -пары в с. ц. м.  $E = k^2/m_N$ . Соответствующая волновая функция рассеяния

в  $^1S_0$ -состоянии имеет вид

$$\psi_k^{(-)}(\vec{q}) = \frac{\langle \vec{q} | \widehat{T}(E - i\varepsilon) | \vec{k} \rangle}{E - i\varepsilon + \vec{q}^2/2\mu}, \quad (4)$$

где  $\mu = m_N/2$ ,  $m_N$  — масса нуклона; положение виртуального уровня задается значением  $E = E_s = -0,45$  МэВ [12]; мнимая добавка к энергии  $i\varepsilon$  должна быть устремлена к нулю после взятия интеграла при решении интегрального уравнения для  $T$ -матрицы. В свою очередь матричный элемент  $T$ -матрицы  $\langle \vec{q} | T(E = k^2/m_N) | \vec{k} \rangle$  может быть выражен через амплитуду  $pn(^1S_0)$ -рассеяния наполовину вне энергетической поверхности

$$f(q, k; E) = -\frac{\mu}{2\pi\hbar^2} \langle \vec{q} | T \left( E = \frac{k^2}{m_N} \right) | \vec{k} \rangle. \quad (5)$$

Используя сепарабельзованную форму  $NN$ -потенциала, как описано в работе [13], амплитуду рассеяния  $f(q, k; E)$  можно представить в виде [14]

$$f \left( q, k; E = \frac{k^2}{m_N} \right) = \frac{2\pi^2 m_N g(q)g(k)}{1 - m_N \int d^3q \frac{g^2(q)}{q^2 - k^2 - i\varepsilon}}, \quad (6)$$

где  $g(q)$  — формфактор для сепарабельного потенциала  $NN$ -взаимодействия. Для  $^1S_0$ -состояния этот формфактор в работе [14] задан в виде

$$g(q) = \sum_i \frac{c_i}{q^2 + \beta_i^2}, \quad (7)$$

и в той же работе для CD Вонн  $NN$ -потенциала [10] найдены численные значения параметров  $c_i$  и  $\beta_i$  формфактора (7). Интеграл, входящий в знаменатель выражения (6) с формфактором (7), вычисляем с помощью теории вычетов аналитически:

$$\begin{aligned} I = \int d^3q \frac{g^2(q)}{q^2 - k^2 - i\varepsilon} &= 4\pi \frac{\pi}{2} \sum_{i \neq j}^n \left\{ \frac{1}{(\beta_i^2 - \beta_j^2)} \left[ \frac{\beta_j}{(\beta_j^2 + k^2)} - \frac{\beta_i}{(\beta_i^2 + k^2)} \right] + \right. \\ &\left. + \frac{ik}{(\beta_j^2 + k^2)(\beta_i^2 + k^2)} \right\} C_i C_j + 4\pi \frac{\pi}{2} \sum_{j=1}^n \left\{ \frac{ik + \beta_j}{(k^2 + \beta_j^2)^2} - \frac{1}{2\beta_j(k^2 + \beta_j^2)} \right\} C_j^2. \end{aligned} \quad (8)$$

Исходя из (4) и формально используя предельное соотношение для перехода в точку полюса виртуального уровня  $E \rightarrow E_s = -\varepsilon_s = -\alpha_s^2/m_N$  [11, 12], для волновой функции «связанного» состояния

$pn(^1S_0)$ -системы получаем выражение

$$\psi_s(q) = N \sqrt{\frac{|\alpha_s|(k^2 + \alpha_s^2)}{2\pi}} \frac{\pi \hbar^2}{m_N} \frac{f\left(q, k; E = \frac{k^2}{m_N} = 0\right)}{\varepsilon_s + q^2/2\mu}, \quad (9)$$

где амплитуда  $f(q, k; E)$  берется при нулевой энергии  $E = 0$ ;  $\varepsilon_s = \alpha_s^2/m_N = 0,45$  МэВ,  $\alpha_s = -0,101$  фм [12];  $N$  — безразмерный множитель, определяемый из условия нормировки  $\int |\psi_s(q)|^2 (d^3q)/(2\pi)^3 = 1$ . Полученная формула для  $\{pn\}_s$  ( $^1S_0$ )-системы применима также для  $nn$ - и  $pp$ -синглетных пар. В случае  $pp$ -пар при больших значениях относительного импульса  $q$  ( $q \gg k \sim 0$ ) вкладом кулоновского взаимодействия можно пренебречь.

### ОТНОШЕНИЕ $pp/pn$

Рассмотрим спектроскопическую амплитуду  $S_A^x$ , входящую в вершину виртуального распада  $^{12}\text{C} \rightarrow \langle NN \rangle + B$ , даваемую формулой (2). Мы рассматриваем только невозбужденные (по числу осцилляторных квантов) внутренние состояния  $NN$ -кластеров с  $N_x = L_x = 0$ , так как только такие состояния допускают переход в КДК-конфигурацию. Кроме того, для оценки отношения  $pp/pn$  в данной работе мы учитываем только основную компоненту волновой функции ТИМО основного состояния ядра  $^{12}\text{C}$  с квантовыми числами  $[f_i] = [444]$ ,  $L_i = S_i = T_i = J_i = 0$ .

В этом случае спектроскопическая амплитуда принимает простую форму

$$S_A^x = \left(\frac{A}{2}\right)^{1/2} \frac{\sqrt{2J_f + 1}}{\sqrt{2T + 1}} \langle A\gamma_i | A - 2\gamma_f, \nu\Lambda; x, ST \rangle; \quad (10)$$

здесь  $\left(\frac{A}{2}\right)$  — комбинаторный фактор;  $\langle A\gamma_i | A - 2\gamma_f, \nu\Lambda; x, ST \rangle$  — генеалогический коэффициент ТИМО для отделения  $NN$ -пары со спином  $S$  и изоспином  $T$  из основного состояния исходного ядра  $|A\gamma_i\rangle$ , когда остаточное ядро  $B = A - 2$  находится в состоянии  $|A - 2\gamma_f\rangle$ , а относительное движение центров масс кластера и ядра-остатка описывается волновой функцией  $|\nu\Lambda\rangle$ . Множитель  $\sqrt{2T + 1}$  в знаменателе выражения (10) следует из сохранения изоспина в вершине  $^{12}\text{C} \rightarrow \langle NN \rangle + B$  и фактически является изоспиновым коэффициентом Клебша–Гордана ( $T_f M_{T_f} T_x M_{T_x} | T_i = 0 M_{T_i} = 0$ ). Расчет генеалогических коэффициентов ТИМО выполнен по методу работы [15], который связывает эти коэффициенты с ГК обычной (не обладающей трансляционной инвариантностью) модели оболочек. Результаты расчета приведены в таблице. Из таблицы видно, что для  $N_x = L_x = 0$  и  $[f_i] = [444]$ ,  $L_i = 0$ ,  $S_i = 0$ ,  $T_i = 0$ ,  $J_i = 0$  генеалогический коэффициент для отделения  $NN$ -пары с квантовыми числами  $ST = 01$  равен генеалогическому коэффициенту с  $ST = 10$ . Это обстоятельство значительно упрощает расчет отношения  $pp/pn$ .

**Генеалогические коэффициенты ТИМО для отделения двух нуклонов из основного состояния ядра  $^{12}\text{C}$ :**  $\langle A\gamma_i | A - 2\gamma_f, N\Lambda; x\gamma_x \rangle \equiv \langle A = 12N_i = 8[444](04)L_i = 0S_i = 0T_i = 0 | A - 2 = 10N_f[f_f](\lambda_f\mu_f)L_f S_f T_f; \nu\Lambda, x = 2N_x[f_x](\lambda_x\mu_x)L_x S_x T_x \{ \mathcal{L} \} : 000 \rangle$

$N_f$	6							
$[f_f]$	[442]							
$(\lambda_f\mu_f)$	(22)							
$\nu\Lambda$	00				22			
$N_x L_x$	22				00			
$^{2T_f+1}2S_f+1 L_f$	$^{13}D_I$	$^{31}D_I$	$^{13}D_{II}$	$^{31}D_{II}$	$^{13}D_I$	$^{31}D_I$	$^{13}D_{II}$	$^{31}D_{II}$
ГК	$\sqrt{\frac{1}{264}}$	$\sqrt{\frac{1}{264}}$	$-\sqrt{\frac{35}{792}}$	$\sqrt{\frac{35}{792}}$	$-\sqrt{\frac{3}{550}}$	$\sqrt{\frac{3}{550}}$	$-\sqrt{\frac{7}{110}}$	$\sqrt{\frac{7}{110}}$

$N_f$	6				7		8	
$[f_f]$	[442]				[433]		[442]	
$(\lambda_f\mu_f)$	(22)				(03)		(13)	
$\nu\Lambda$	00		20		11		11	
$N_x L_x$	20		00		11		00	
$^{2T_f+1}2S_f+1 L_f$	$^{13}S$	$^{31}S$	$^{13}S$	$^{31}S$	$^{11}P$	$^{33}P$	$^{13}P$	$^{31}P$
ГК	$-\sqrt{\frac{2}{99}}$	$\sqrt{\frac{2}{99}}$	$-\sqrt{\frac{8}{275}}$	$\sqrt{\frac{8}{275}}$	$\sqrt{\frac{1}{55}}$	$\sqrt{\frac{9}{55}}$	$\sqrt{\frac{21}{275}}$	$\sqrt{\frac{21}{275}}$
							$\sqrt{\frac{3}{110}}$	$-\sqrt{\frac{3}{110}}$

Усредненный по спинам квадрат матричного элемента реакции имеет вид

$$|\overline{M_{fi}(A(p, 2pN)B)}|^2 = \binom{A}{2} \frac{(2S+1)^2}{2T+1} n_{\text{cm}}(\mathbf{k}_{\text{cm}}) n_{pN}(\mathbf{q}_{\text{rel}}) |M^{pN}|^2 \times \\ \times \left( \frac{1}{2} \frac{1}{2} \frac{1}{2} \tau_N |TM_T| \right)^2 \frac{2L_f+1}{2} \langle A\gamma_i | A - 2\gamma_f, \nu\Lambda; x, ST \rangle^2, \quad (11)$$

где  $M^{pN}$  — амплитуда упругого  $pp$ -рассеяния, которая предполагается независимой от спинов нуклонов. Изоспиновый коэффициент Клебша–Гордана в  $(1/2 \ 1/2 \ 1/2 \ 1/2 \ \tau_N |TM_T)$  в (11) учитывает сохранение изоспина в вершине  $\langle pN \rangle \rightarrow p + N$ . Квадрат этого коэффициента для  $pp$ -пары в два раза больше, чем для изоскалярной пары  $pn$ . В выражении (11) учтено, что  $J_f = J_x = S$ . Дополнительный множитель  $2S+1$  по отношению к множителю  $2J_f+1$  в (10) появляется в (11) за счет суммирования по проекциям спина остаточного ядра за знаком квадрата модуля амплитуды перехода.

Отношение  $R = pp/pn$  определяется как отношение усредненных по спинам начальных частиц и просуммированных по спинам конечных частиц квадратов матричных элементов (11) для  $pp$  и  $pn$  КДК-пар. Мы берем отношение  $pp/pn$  при нулевом значении импульса  $k_{\text{cm}} = 0$ , поскольку

этому значению соответствует наибольшая экспериментальная плотность импульсного распределения по относительному движению центров масс ядра-остатка и  $NN$ -пары. При этом в нашем подходе вклад дают состояния относительного движения  $B - \langle NN \rangle$  только с квантовыми числами  $\nu\Lambda = 20, 00$ . Как видно из таблицы генеалогических коэффициентов, при этом  $L_f = 0$ . С учетом этого, используя (11), находим искомое отношение в виде

$$R = \frac{pp}{pn} = \frac{pp}{(pn)_{S=0T=1} + (pn)_{S=1T=0}} = \frac{1}{14} R_{\text{rel}}, \quad (12)$$

где  $R_{\text{rel}} \equiv R_{\text{rel}}(q_{\text{min}}, q_{\text{max}})$  есть отношение интегралов от распределений по внутренним импульсам  $pN$ -пар

$$R_{\text{rel}} = \frac{\int_{q_{\text{min}}}^{q_{\text{max}}} dq q^2 |\psi_s(q)|^2}{\int_{q_{\text{min}}}^{q_{\text{max}}} dq q^2 [u^2(q) + w^2(q)]}. \quad (13)$$

Внутренние импульсные распределения в дейтроне и в  $pp(^1S_0)$ -паре для CD Вопп  $NN$ -потенциала приведены на рис. 1. Из рисунка видно, что распределение  $pp(^1S_0)$  имеет узел при  $q \approx 0,4$  ГэВ/с, обусловленный отталкивательным кором  $NN(^1S_0)$ -потенциала.  $S$ -волна дейтрона также имеет аналогичный узел, но вклад  $D$ -волны дейтрона, обусловленный

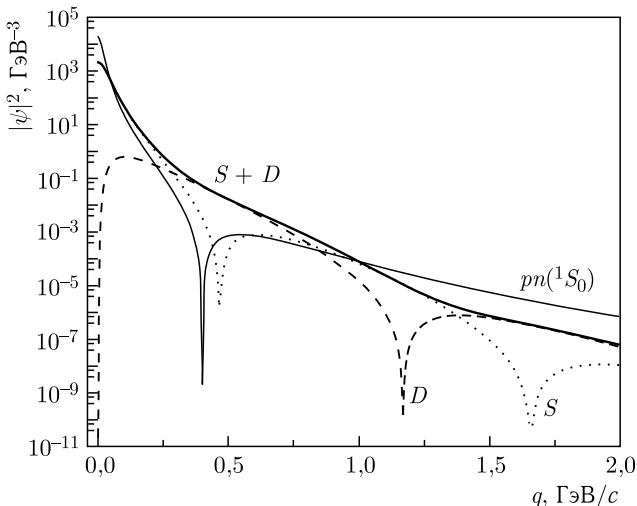


Рис. 1. Квадраты волновых функций дейтрона  $u^2(q)$  (пунктирная),  $w^2(q)$  (штриховая),  $u^2(q) + w^2(q)$  (жирная сплошная) и синглетного дейтрона  $pn(^1S_0)$   $\psi_s^2(q)$  (тонкая сплошная) для CD Вопп  $NN$ -потенциала [10] в зависимости от относительного импульса  $q$



тензорными силами, заполняет  $S$ -волновой провал в импульсном распределении так, что суммарный вклад  $S$ - и  $D$ -волн  $u^2(q) + w^2(q)$  в области  $q \sim 0,4$  ГэВ/с существенно выше вклада  $pp(^1S_0)$ -пары. Однако при увеличении относительного импульса до значений  $q \sim 1$  ГэВ/с соотношение между импульсными распределениями меняется так, что плотность импульсного распределения в  $pp(^1S_0)$ -паре становится выше, чем в дейтроне. Следует отметить, что импульсные распределения в рассматриваемых  $NN$ -парах при больших значениях  $q$  сильно зависят от вида  $NN$ -потенциала и фактически не контролируются теорией. Тем не менее мы приводим эти распределения, включая интервал  $q = 1-2$  ГэВ/с, для иллюстрации конкретной феноменологической  $NN$ -модели.

Интервал интегрирования  $[q_{\min}, q_{\max}]$  в (13) определяется условиями эксперимента. Экспериментальные данные [8] для отношения  $pp/pn$  были получены из реакции  $A(e, epN)B$  при определенных ограничениях на модули импульсов нуклона отдачи ( $p_r > 0,35$  ГэВ/с) и выбиваемого нуклона перед взаимодействием с внешним пробником ( $0,4 < p_{\text{miss}} < 1,0$  ГэВ/с). Относительный импульс  $\mathbf{q}_{\text{rel}}$  не был определен в эксперименте [8] в силу его зависимости от угла между векторами  $\mathbf{p}_r$  и  $\mathbf{p}_{\text{miss}}$ . Поскольку неизвестно, какой интервал  $[q_{\min}, q_{\max}]$  был фактически задействован в работе [8], мы не можем выполнить непосредственное сравнение вычисляемого здесь отношения  $pp/pn$  с экспериментальными данными из [8]. Вместо этого мы вычисляем отношение  $R_{\text{rel}}$  для разных значений  $q_{\min}$  при  $q_{\max} = 1,2, 2,0$  и  $4$  ГэВ/с, используя волновые функции дейтрона и синглетного дейтрона  $pn(^1S_0)$  (9) при нулевой энергии возбуждения  $pn$ -системы. Результаты расчета показаны на рис. 2. Из этого

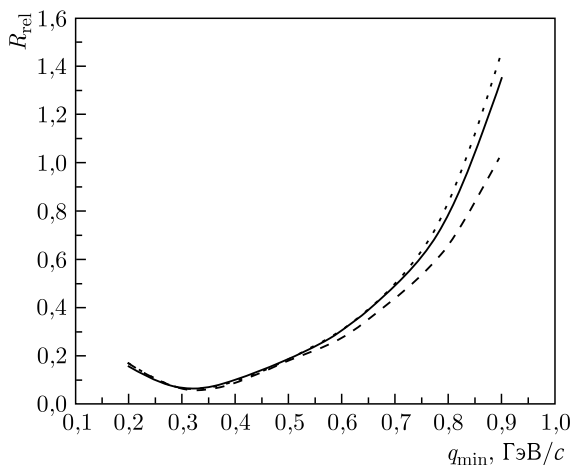


Рис. 2. Отношение  $R_{\text{rel}}$  (13) в зависимости от  $q_{\min}$  при  $q_{\max} = 4$  ГэВ/с (пунктирная кривая), 2 ГэВ/с (сплошная) и 1,2 ГэВ/с (штриховая) для CD Вопп  $NN$ -потенциала [10]

рисунка видно, что  $R_{\text{rel}}$  имеет минимум  $\sim 0,06$  при  $q_{\text{min}} = 0,35$  ГэВ/с, что обусловлено узлом волновой функции  $pp$ -пары при  $q_{\text{rel}} \approx 0,4$  ГэВ/с. При более высоких значениях  $q_{\text{min}} = 0,7-0,9$  ГэВ/с  $R_{\text{rel}}$  возрастает до значений  $0,5-1,5$ . Это обусловлено возрастающей ролью отталкивающего ядерного кора в центральном потенциале спин-синглетного  $S = 0$  состояния по сравнению с тензорными силами, действующими в состоянии  $S = 1$ . Этот эффект относительного усиления плотности импульсного распределения в  $pp$ -системе виден на рис. 1. Экспериментальное указание на такое поведение КДК-пар получено в [16] и [17].

Для КДК-интервала  $q_{\text{min}} = 0,4$  ГэВ/с,  $q_{\text{max}} \leq 1,2$  ГэВ/с имеем  $R_{\text{rel}} \approx 0,1$ . Отношение спектроскопических факторов дает для отношения  $pp/pn$  множитель  $1/14$ , который сам по себе находится в согласии с полученным в [8] отношением 5–7%. Однако дополнительный множитель  $R_{\text{rel}}$  имеет тот же порядок малости величины. С другой стороны, нужно учесть эффект перезарядки в конечном состоянии реакции за счет подпроцесса  $n + B_Z \rightarrow p + B_{Z-1}$ . Как показано в [8], наблюдаемое там отношение  $\sim 5\%$  с учетом перезарядки соответствует отношению 3%, не искаженному взаимодействием в конечном состоянии. Следовательно, вероятность  $w$  превращения  $pn$ -пары в  $pp$ -пару в конечном состоянии реакции равна  $w = 0,019$ . Принимая это значение  $w$ , мы оцениваем дополнительный выход  $pp$ -пар за счет перезарядки равным  $\Delta N_{pp} = w N_{pn}$ , где  $N_{pn}$  — изначальный выход  $pn$ -пар. Используя это значение  $w$ , находим, что при начальном отношении  $R = 0,01$  в выражении (12) наблюдаемое отношение  $pp/pn$  должно увеличиться за счет перезарядки до  $\sim 0,03\%$ .

Вероятность найти в ядре коррелированную  $NN$ -пару со спином  $S$  и изоспином  $T$  исследовалась в микроскопическом подходе к расчету свойств ядер из  $A$  нуклонов с реалистическими потенциалами  $NN$ -взаимодействия [18]. Аналогом рассматриваемого в настоящей работе спектроскопического фактора для (коррелированных)  $NN$ -пар в [18] является параметр  $C_{NN}^s$  (ядерный контактный член). Полученные в [18] для ядра  $^{12}\text{C}$  значения  $C_{pn}^{s=1} = 16,8 \pm 0,8$ ,  $C_{pn}^{s=0} = 1,4 \pm 0,2$  дают отношение  $C_{pn}^{s=1}/C_{pn}^{s=0} = 12$ , что согласуется с экспериментом (см. детали в [18]). Полученное нами в работе отношение соответствующих квадратов матричных элементов (11) равно  $27/2 = 13,5$ , что вполне согласуется с приведенным выше результатом [18]. Важно подчеркнуть, что полученное нами отношение одинаково для всех изоскалярных ядер и его значение вполне согласуется с результатами микроскопических расчетов для ядер  $^4\text{He}$ ,  $^{16}\text{O}$ ,  $^{40}\text{Ca}$ , дающих значения 17,8, 16,8 и 15,8 соответственно [18]. Сравнение по абсолютной величине с коэффициентами  $C_{NN}^s$  не удается провести, так как определение этих коэффициентов в [18] не является математически достаточно четким.

## ЗАКЛЮЧЕНИЕ

Близкая к теме данной работы проблема исследовалась в реакциях квазиупругого выбивания быстрых дейтронов протонами из ядер  ${}^6\text{Li}$  и  ${}^7\text{Li}$ . В работе [19] было измерено отношение сечений этих реакций  $\mathcal{R} = d\sigma(p, nd)/d\sigma(p, pd)$  при энергии пучка протонов 670 МэВ, оказавшееся равным  $\mathcal{R} \approx 0,1-0,2$  в зависимости от энергии возбуждения ядра-остатка. Элементарным процессом в реакции  $(p, nd)$  является взаимодействие с  $nn$ -парой,  $p + \langle nn \rangle \rightarrow n + d$ , а в реакции  $(p, pd)$  имеет место квазиупругое выбивание  $pn$ -пары в кинематике упругого  $pd$ -рассеяния назад. Анализ результатов этих измерений в рамках ТИМО [20] позволил объяснить наблюдаемое подавление вклада  $nn$ -пар по сравнению с  $pn$ -парами. При этом существенную роль играет механизм элементарного процесса выбивания  $p + \langle pN \rangle \rightarrow p + d$ , который при энергиях эксперимента [19] связан с возбуждением  $\Delta(1232)$ -изобары в промежуточном состоянии.

Отношение  $pp/pn$ , полученное в данной работе в рамках ТИМО для реакций  ${}^{12}\text{C}(p, ppN){}^{10}\text{A}$ , с учетом КДК  $NN$ -пар также опирается на предположение о конкретном (полюсном) механизме элементарного процесса  $p + \langle NN \rangle \rightarrow N + N + N$  и находится в качественном согласии с имеющимися электронными данными. Доминирование  $pn$ -пар связано как со значительным различием спектроскопических множителей для  $pp$ - и  $pn$ -пар, так и с различным распределением по внутреннему импульсу в этих парах.

Работа Ю. Н. У. выполнена при частичной поддержке грантом РФФИ № 18-02-40046.

## СПИСОК ЛИТЕРАТУРЫ

1. *Schmookler B. et al. (CLAS Collab.)*. Modified Structure of Protons and Neutrons in Correlated Pairs // *Nature*. 2019. V. 566, No. 7744. P. 354–358; arXiv:2004.12065.
2. *Hen O., Miller G., Piasetzky E., Weinstein L.* Nucleon–Nucleon Correlations, Short-Lived Excitations, and the Quarks Within // *Rev. Mod. Phys.* 2017. V. 89, No. 4. P. 045002; arXiv:1611.09748.
3. *Блохинцев Д. И.* О флуктуациях ядерного вещества // *ЖЭТФ*. 1957. Т. 33. С. 1295–1299.
4. *Uzikov Y.* Probing Short-Range  $NN$ -Correlations in the Reaction  ${}^{12}\text{C} + p \rightarrow p + pN + {}^{10}\text{A}$  // *Eur. Phys. J. Web Conf.* 2019. V. 222. P. 03027.
5. *Uzikov Y.N.* Short-Range  $NN$  Correlations in the Reaction  ${}^{12}\text{C} + p \rightarrow {}^{10}\text{A} + pp + N$  // *Bull. Russ. Acad. Sci. Phys.* 2020. V. 84, No. 4. P. 455–460.
6. *Zhusupov M., Uzikov Y.* Quasielastic Cluster Knockout Reactions by Fast Protons and Structure of Nuclei // *Part. Nucl.* 1987. V. 18. P. 323–373.
7. *Patsyuk M., Kahlbow J., Laskaris G. et al.* Unperturbed Inverse Kinematics Nucleon Knockout Measurements with a Carbon Beam // *Nat. Phys.* 2021. V. 17. P. 693–699. <http://doi.org/10.1038/s41567-021-01193-4>.

8. *Duer M. et al. (CLAS Collab.)*. Direct Observation of Proton–Neutron Short-Range Correlation Dominance in Heavy Nuclei // *Phys. Rev. Lett.* 2019. V. 122, No. 17. P. 172502; arXiv:1810.05343.
9. *Неудачин В.Г., Смирнов В.Ф.* Нуклонные ассоциации в легких ядрах. М.: Наука, 1969.
10. *Machleidt R.* The High Precision, Charge Dependent Bonn Nucleon–Nucleon Potential (CD-Bonn) // *Phys. Rev. C.* 2001. V. 63. P. 024001; arXiv:nucl-th/0006014.
11. *Boudard A., Faeldt G., Wilkin C.* Triplet  $np$  Final State Interactions at Large Momentum Transfers // *Phys. Lett. B.* 1996. V. 389. P. 440–444; arXiv:nucl-th/9609032.
12. *Faeldt G., Wilkin C.* Bound State and Continuum Production in Large Momentum Transfer Reactions // *Phys. Lett. B.* 1996. V. 382. P. 209–213.
13. *Haidenbauer J., Plessas W.* Separable Representation of the Paris Nucleon–Nucleon Potential // *Phys. Rev. C.* 1984. V. 30. P. 1822–1839.
14. *Lensky V., Baru V., Haidenbauer J., Hanhart C., Kudryavtsev A.E., Meissner U.G.* Precision Calculation of  $\gamma d \rightarrow \pi^+ nn$  within Chiral Perturbation Theory // *Eur. Phys. J. A.* 2005. V. 26. P. 107–123; arXiv:nucl-th/0505039.
15. *Smirnov Y., Tchuivil'sky Y.* Cluster Spectroscopic Factors for the  $p$ -Shell Nuclei // *Phys. Rev. C.* 1977. V. 15. P. 84–93.
16. *Schmidt A. et al. (CLAS Collab.)*. Probing the Core of the Strong Nuclear Interaction // *Nature.* 2020. V. 578, No. 7796. P. 540–544; arXiv:2004.11221.
17. *Korover I. et al. (CLAS Collab.)*. Tensor-to-Scalar Transition in the Nucleon–Nucleon Interaction Mapped by  $^{12}\text{C}(e, e'pn)$  Measurements. arXiv:2004.07304. 2020.
18. *Weiss R., Cruz-Torres R., Barnea N., Piasetzky E., Hen O.* The Nuclear Contacts and Short Range Correlations in Nuclei // *Phys. Lett. B.* 2018. V. 780. P. 211–215; arXiv:1612.00923.
19. *Albrecht D. et al.* Investigation of the  $(p, nd)$  Reaction on  $^6\text{Li}$  and  $^7\text{Li}$  at 670 MeV // *Nucl. Phys. A.* 1979. V. 322. P. 512–525.
20. *Имамбеков О., Узиков Ю.* Отношение сечений квазиупругого выбивания быстрых дейтронов в реакциях  $(p, nd)$  и  $(p, pd)$  и механизмы упругого  $pd$ -рассеяния на угол  $180^\circ$  // *Изв. АН СССР. Сер. физ.* 1987. Т. 51. С. 947–951.